

บทที่ 3

วิธีดำเนินการวิจัย

3.1 นิยามกฎและความผิดปกติของกฎ

เมื่อพูดถึงรูปแบบทั่วไปของกฎไฟร่วลล์ประกอบด้วย 2 ส่วน คือ ส่วนของเงื่อนไขและส่วนการตัดสินใจ ให้ R เป็นกฎไฟร่วลล์ C เป็นส่วนเงื่อนไขและ A เป็นส่วนการตัดสินใจ

กฎไฟร่วลล์จะมีรูปแบบต่อไปนี้

$$R: C \Rightarrow A \quad (1)$$

ในความเป็นจริงกฎไฟร่วลล์มีกฎมากกว่าหนึ่งกฎเสมอ ดังนั้นสมการแรก (1) จะต้องมีการแก้ไขในสมการที่สองดังนี้

$$R_i: C_i \Rightarrow A_i \quad (2)$$

โดยที่ C_i และ A_i เป็นเงื่อนไขและการตัดสินใจของกฎ R_i (กฎไฟร่วลล์ใด ๆ) โดย $i \in [1, n]$ และ n เป็นจำนวนเต็มที่ไม่ติดลบ f_i แทนโดเมนของจำนวนเต็มบวกเป็นช่วง เขียนแทนด้วย $D(f_i)$ ตัวอย่าง เช่น โดเมนของที่อยู่ต้นทางและปลายทางในแพ็คเกจ IP (SIP และ DIP) คือ $[0, 2^{32} - 1]$ และ $D(f_2)$ พอร์ตต้นทางและพอร์ตปลายทาง (SP และ DP) คือ $[0, 2^{16} - 1]$ และ โพรโตคอล คือ $[0, 2^8 - 1]$ กำหนดให้ C_i เป็นชุดข้อมูล f_1 ถึง f_d ที่ระบุเป็น $f_1 \in F_1 \wedge f_2 \in F_2 \wedge \dots \wedge f_d \in F_d$ โดยที่ F_i เป็นส่วนย่อยของ $D(f_i)$ ส่วน A_i คือ การยอมรับหรือปฏิเสธ (Accept และ Deny) สำหรับแต่ละกฎ หากเงื่อนไขทั้งหมด (f_i) ใน C_i เป็นจริงจะส่งผลให้มีเพียงหนึ่ง

ในการตัดสินใจระหว่างยอมรับและปฏิเสธ (Accept และ Deny) ขึ้นอยู่กับผู้ดูแลจัดการ เช่น:

$$R_i: (f_1 \wedge f_2 \wedge f_3 \wedge \dots \wedge f_{d1}) \Rightarrow \text{accept} \\ \text{or } R_i: (f_1 \wedge f_2 \wedge f_3 \wedge \dots \wedge f_{d1}) \Rightarrow \text{deny}$$

รับ P_i เป็นแพ็คเกจ IP บนฟิลด์ f_1, \dots, f_d , P_i เป็น tuple ของ d (p_1, p_2, \dots, p_d) โดยที่แต่ละอัน p_i ($1 \leq i \leq d$) เป็นองค์ประกอบของ $D(f_i)$ IP แพ็คเกจ (p_1, p_2, \dots, p_d) ตรงกับ R_i ถ้าหากเงื่อนไข $p_i \in$

$f_1 \wedge p_2 \in f_2 \wedge \dots \wedge p_d \in f_d$ ชุดของกฎ (R_1, \dots, R_i) จะใช้ได้เมื่อมีกฎอย่างน้อยหนึ่งกฎจับคู่กับ P_i เพื่อให้แน่ใจว่ากฎไฟร์วอลล์ทำงานอย่างถูกต้อง เงื่อนไขของกฎสุดท้ายในไฟร์วอลล์มักจะถูกระบุเป็น $f_1 \in D(f_1) \wedge \dots \wedge f_d \in D(f_d)$ โดยที่ทุกแพ็คเกจจะต้องจับคู่ตามที่แสดงใน R_3 ตัวอย่างของกฎสามข้อ เกี่ยวกับเงื่อนไขสามข้อ $C(f_1, f_2, f_3)$ โดยที่ $D(f_1) = D(f_2) \in [1, 100]$ และ $D(f_3) \in [1, 50]$

$$R_1: f_1 \in [25,50] \wedge f_2 \in [40,60] \wedge f_3 \in [5,25] \Rightarrow \text{accept}$$

$$R_2: f_1 \in [35,70] \wedge f_2 \in [30,90] \wedge f_3 \in [10,25] \Rightarrow \text{accept}$$

$$R_3: f_1 \in [1,100] \wedge f_2 \in [1,100] \wedge f_3 \in [1,50] \Rightarrow \text{deny}$$

R_1 และ R_2 ซ้ำซ้อน (redundant) เนื่องจาก แพ็คเกจของกฎทั้งสองสามารถจับคู่กันได้และมีการกระทำ (action) เหมือนกัน คือ accept (ยอมรับ) นอกจากนี้ R_1 และ R_2 ยังขัดแย้งกับ R_3 เพราะทั้ง R_1 และ R_2 เป็นเซตย่อยของ R_3 ในขณะที่ R_3 มี action ที่ต่างจาก R_1 และ R_2

วิธีแก้ปัญหาในการแก้ไขความขัดแย้งดังกล่าว โดยทั่วไปแล้วไฟร์วอลล์จะเลือกกฎที่ตรงกับแพ็คเกจที่พิจารณาก่อน เรียกว่า วิธีจับคู่แรก ความผิดปกติของกฎไฟร์วอลล์สามารถแบ่งออกเป็น 6 ประเภท ให้ $[x, y]$ แทนประเภทของความผิดปกติแต่ละทฤษฎีบท ดังนี้

1. Shadow anomaly

R_x ถูกบังโดย R_y ถ้าหากว่าจุดตัดของ R_x และ R_y มีค่าเท่ากับ R_x และมี actions ที่แตกต่างกัน

$$R_x: C_x \Rightarrow A_x$$

$$R_y: C_y \Rightarrow A_y$$

$$R_x R_y \in R_{db} \wedge \neg(A_x \Leftrightarrow A_y) \wedge (C_x \cap C_y = C_x) \quad (3)$$

โดยที่ R_{db} เป็นฐานข้อมูลของกฎทั้งหมดและ R_y เป็นกฎที่ดำเนินการก่อนหน้า R_x

2. Correlation Anomaly

R_x และ R_y ใน R_{db} มีความสัมพันธ์กันหากจุดตัดของ R_x และ R_y ไม่เท่ากับ \emptyset , $R_x - R_y \neq \emptyset$, $R_y - R_x \neq \emptyset$ และ R_x และ R_y มี actions ที่แตกต่างกัน

$$R_x: C_x \Rightarrow A_x$$

$$R_y: C_y \Rightarrow A_y$$

$$R_x R_y \in R_{db} \wedge \neg(A_x \Leftrightarrow A_y) \wedge (C_x \cap C_y \neq \emptyset) \wedge (C_x - C_y \neq \emptyset) \wedge (C_y - C_x \neq \emptyset) \quad (4)$$

3. Generalization Anomaly

R_x ถูก generalized โดย R_y ถ้าหากว่าจุดตัดของ R_x และ R_y มีค่าเท่ากับ R_y และมี actions โดยที่ R_y คือกฎที่จับคู่ก่อนหน้า R_x

$$R_x: C_x \Rightarrow A_x$$

$$R_y: C_y \Rightarrow A_y$$

$$R_x R_y \in R_{db} \wedge \neg(A_x \leftrightarrow A_y) \wedge (C_x \cap C_y = C_y) \quad (5)$$

4. Redundancy Anomaly

R_x ซ้ำซ้อนกับ R_y ถ้าหากว่าจุดตัดของ R_x และ R_y ไม่เท่ากับ \emptyset และมี actions เหมือนกัน ภาพประกอบที่ 3.1 (d)

$$R_x: C_x \Rightarrow A_x$$

$$R_y: C_y \Rightarrow A_y$$

$$R_x R_y \in R_{db} \wedge \neg(A_x \leftrightarrow A_y) \wedge (C_x \cap C_y = \emptyset) \quad (6)$$

5. Irrelevance Anomaly

ความผิดปกติที่ไม่เกี่ยวข้องกันเกิดขึ้นในไฟร์วอลล์ หากไม่มีแพ็กเก็ตใดที่สามารถจับคู่กับกฎทั้งหมดได้ในไฟร์วอลล์ ความผิดปกตินี้เกิดจากความเข้าใจผิดเกี่ยวกับการเชื่อมต่อในเครือข่ายของผู้ดูแลระบบเอง

$$R_1: C_1 \Rightarrow A_1 B_2: C_2 \Rightarrow A_2$$

$$\vdots$$

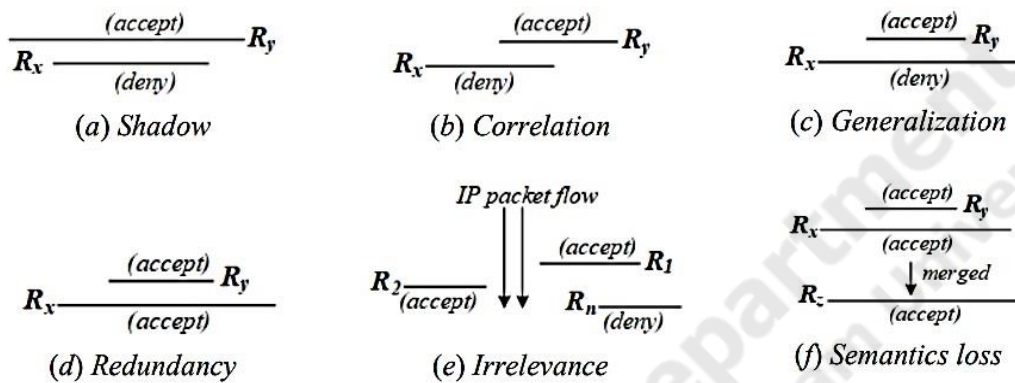
$$R_n: C_n \Rightarrow A_n$$

$$R_1, \dots, R_n \in R_{db} \wedge P_i \notin C_1, \dots, C_n \quad (7)$$

โดยที่ P_i เป็นแพ็กเก็ต IP ที่ดำเนินการโดยไฟร์วอลล์

6. Semantics loss Anomaly

การสูญเสียความหมายของ Khammanee เกิดขึ้นจาก R_x และ R_y ถูกรวมเข้ากับ R_z โดยความหมายของกฎเกณฑ์ทั้งสองมีการเปลี่ยนแปลงหรือแทนที่ความหมายใหม่ ความผิดพลาดนี้ส่วนใหญ่เกิดจากกฎซ้ำกัน ดังแสดงในรูปที่ 1



ภาพประกอบที่ 3.1 ความผิดพลาดของกฎไฟร์วอลล์

3.1.1 การปรับคุณสมบัติ Min-Max

การปรับคุณสมบัติ Min-Max (หรือเรียกว่าการปรับสภาพข้อมูล) เป็นวิธีมาตรฐานที่ใช้ในการปรับช่วงของข้อมูล เนื่องจากช่วงของค่าข้อมูลอาจแตกต่างกันมาก ดังนั้นจึงเป็นขั้นตอนที่จำเป็นในการประมวลผลข้อมูลล่วงหน้าก่อนประมวลผลในขั้นตอนถัดไป โดยปกติจะใช้เพื่อปรับขนาดช่วงข้อมูลใด ๆ ให้อยู่ในช่วง [0, 1] เรียกว่าการทำให้เป็น unity-based normalization

$$m' = \frac{m - r_{min}}{r_{max} - r_{min}} x (t_{max} - t_{min}) + t_{min} \quad (8)$$

ให้ m' หมายถึง ค่าที่พิจารณาถูกทำให้เป็นมาตรฐานโดย $m \in [r_{min}, r_{max}]$, r_{min} และ r_{max} แสดงถึงค่าต่ำสุดและสูงสุดของช่วงการวัด t_{min} และ t_{max} เป็นช่วงต่ำสุดและสูงสุดของช่วงเป้าหมายที่จะถูกปรับสัดส่วน

3.1.2 ทฤษฎีของเบย์

ทฤษฎีบทของเบย์ (หรือเรียกอีกอย่างว่ากฎเบย์) เป็นสูตรที่อธิบายถึงวิธีการอัปเดตความน่าจะเป็นของสมมติฐานเมื่อได้รับหลักฐาน มันเป็นเครื่องมือที่มีประโยชน์สำหรับการคำนวณความน่าจะเป็นตามเงื่อนไข ทฤษฎีบทของเบย์สามารถนิยามได้ดังต่อไปนี้:

ให้ A_1, A_2, \dots, A_k เป็นเหตุการณ์ที่แบ่งพื้นที่ตัวอย่าง $s, i.e., S = A_1 \cup A_2 \cup \dots \cup A_k$ และ $A_i \cap A_j = \emptyset$ เมื่อ $i \neq j$ และให้ B และเหตุการณ์ในพื้นที่นั้น $P(B) > 0$ จากนั้นทฤษฎีเบย์ คือ:

$$P_r(A_i|B) = \frac{P_r(A_i)P_r(B|A_i)}{\sum_{j=1}^k P_r(A_j)P_r(B|A_j)} \quad (9)$$

สูตรนี้สามารถใช้เพื่อย้อนกลับความน่าจะเป็นตามเงื่อนไข หากเราทราบความน่าจะเป็นของเหตุการณ์ A_j และความน่าจะเป็นตามเงื่อนไข $P_r(B|A_j), j = 1, \dots, k$, สูตรสามารถใช้ในการคำนวณความน่าจะเป็นตามเงื่อนไข $P_r(A_j|B)$

3.1.3 Moving Average (MA)

ค่าเฉลี่ยเคลื่อนที่ (MA) เป็นตัวบ่งชี้ที่ใช้กันอย่างแพร่หลายสำหรับการวิเคราะห์แนวโน้มข้อมูล ช่วยให้การดำเนินการข้อมูลราบรื่นขึ้นโดยกรองการรบกวนจากความผันผวนของข้อมูลระยะสั้น ค่าเฉลี่ยเคลื่อนที่มีอยู่ 2 ประเภทซึ่งเป็นที่นิยมและใช้กันอย่างแพร่หลายคือ Simple Moving Average (SMA) และ Exponential Moving Average (EMA) SMA คำนวณค่าเฉลี่ยของข้อมูลล่าสุด เมื่อ n แสดงถึงจำนวนของช่วงเวลาที่เรา ต้องการค่าเฉลี่ย:

$$SMA = \frac{A_1 + A_2 + A_3 + \dots + A_n}{n} \quad (10)$$

โดยที่ A คือ ค่าเฉลี่ยในช่วงเวลา n และ n คือ จำนวนของช่วงเวลา

EMA เป็นค่าเฉลี่ยถ่วงน้ำหนักของข้อมูลล่าสุด โดยที่น้ำหนักของข้อมูล ที่ซึ่งค่าน้ำหนักเกิดขึ้นแบบ exponential กับช่วงของข้อมูล. เมื่อกว่าอีกนัยหนึ่ง มันเป็นสูตรที่ใช้หาค่าน้ำหนักข้อมูล แบบ exponential นั่นเอง ซึ่งมีสมการดังนี้

$$EMA_t = \left[V_t \times \left(\frac{s}{1+d} \right) \right] + EMA_y \times \left[1 - \left(\frac{s}{1+d} \right) \right] \quad (11)$$

โดยที่: $EMA_t = EMA$ วันนี้, $V_t =$ ข้อมูลปัจจุบัน, $EMA_y = EMA$ เมื่อวาน, $S =$ ความราบเรียบของ ข้อมูล, d คือ จำนวนวัน

3.1.4 การแปลงที่อยู่ IP ให้เป็นจำนวนเต็มไม่ติดลบ

ที่อยู่อินเทอร์เน็ตโพรโทคอล (ที่รู้จักกันในชื่อที่อยู่ IP) เป็นที่อยู่เฉพาะที่อุปกรณ์เครือข่าย เช่น เราเตอร์, สวิตช์ และ คอมพิวเตอร์ ใช้เพื่อระบุตัวเองและสื่อสารผ่านอุปกรณ์อื่น ๆ ในเครือข่ายคอมพิวเตอร์ ที่อยู่ IPv4 (IP รุ่น 4) มีค่าเท่ากับ 32 บิตตั้งแต่ 0 ถึง $2^{32} - 1$ โดยปกติจะแบ่งออกเป็น 4 ส่วนแต่ละส่วน (8 บิต = ออกเตต) คั่นด้วยจุดเช่น A_1, A_2, A_3, A_4 โดยที่ $A_1-4 \in [0, 255]$ ที่อยู่ IPv4 สามารถแปลงเป็น จำนวนเต็มใด ๆ ที่ไม่ติดลบด้วยสมการต่อไปนี้:

$$IPv4' = (A_1 \times 2^{24}) + (A_2 \times 2^{16}) + (A_3 \times 2^8) + (A_4 \times 2^0) \quad (12)$$

โดยที่ IPv4' เป็นที่อยู่ IP ใหม่ ที่จะแปลง ตัวอย่างเช่น 1.2.3.4 จะถูกแปลงเป็น:

$$IPv4' = (1 \times 2^{24}) + (2 \times 2^{16}) + (3 \times 2^8) + (4 \times 2^0) = 16,909,060$$

3.2 จุดเด่นของโครงการ

เนื่องจากความผิดปกติของกฎเกิดขึ้นผ่านไฟร์วอลล์ อำนวยการตัดสินใจในการแก้ไขความผิดปกติส่วนใหญ่ขึ้นอยู่กับดุลยพินิจของผู้ดูแลระบบ อย่างไรก็ตามการตัดสินใจที่เกิดขึ้นมักจะส่งผลให้เกิดข้อผิดพลาดหรือช่องโหว่มากกว่ากฎที่มีอยู่หากผู้ดูแลระบบไม่สามารถเข้าใจความสัมพันธ์ระหว่างกฎความขัดแย้งทั้งหมด ดังนั้นจึงจำเป็นต้องพัฒนาระบบสนับสนุนการตัดสินใจ สำหรับผู้ดูแลระบบเพื่อช่วยในการตัดสินใจในกรณีที่มีความผิดปกติเกิดขึ้น ระบบประกอบด้วย 4 ขั้นตอน:

- 1) ประการแรกเตรียมข้อมูลต่าง ๆ ให้พร้อมก่อนดำเนินการ
- 2) การวิเคราะห์และตรวจสอบความผิดปกติของกฎโดย Path Selection Tree (PST)
- 3) การคำนวณความน่าจะเป็น (Bayesian) ของแต่ละกฎโดยพิจารณาจากความถี่ของแพ็คเกจที่จับคู่ กับกฎพื้นฐานของการสร้างกฎ, ความเชี่ยวชาญในการสร้างกฎ และลำดับความสำคัญของ โปรโตคอลเพื่อช่วยผู้ดูแลระบบตัดสินใจก่อนปรับกฎ

4) สุดท้ายปรับความผิดปกติหรือกฎความขัดแย้งตามความน่าจะเป็น

3.3 การออกแบบระบบ

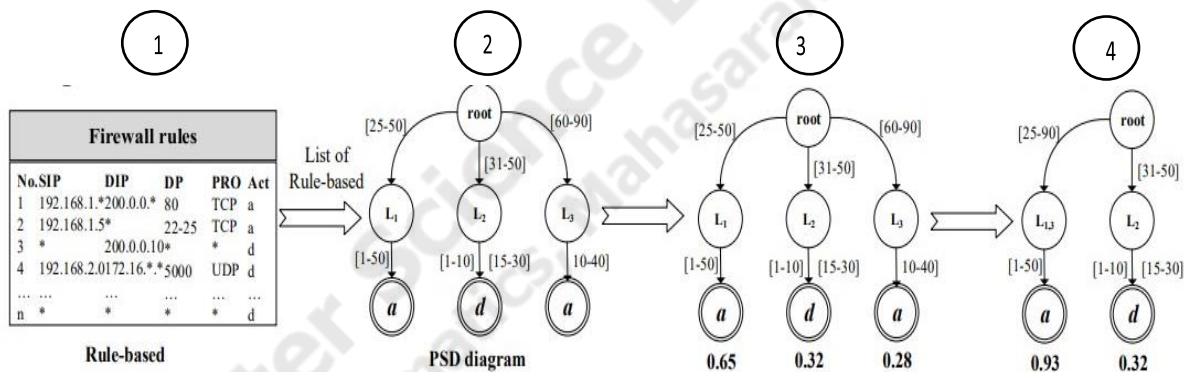
การออกแบบระบบมี 4 ขั้นตอน

ขั้นตอนที่ 1 การเตรียมกฎไฟร์วอลล์

ขั้นตอนที่ 2 วิเคราะห์ความผิดปกติ

ขั้นตอนที่ 3 คำนวณความน่าจะเป็น

ขั้นตอนที่ 4 การปรับปรุงกฎ



ภาพประกอบที่ 3.2 ภาพรวมของการออกแบบระบบ

3.3.1 การเตรียมไฟร์วอลล์ตามกฎ (ขั้นตอนที่ 1)

A. เงื่อนไข (C_i) และการตัดสินใจ (A_i) ของแต่ละกฎ

อ้างอิง R_i ในสมการ (2) โดยทั่วไปสมาชิกของ C_i มี 5 พิลด์ ($f_1 \wedge \dots \wedge f_5$) โดยที่ $f_1 =$ ที่อยู่ IP ต้นทาง (SIP), $f_2 =$ ที่อยู่ IP ปลายทาง (DIP), $f_3 =$ พอร์ตต้นทาง (SP), $f_4 =$ พอร์ตปลายทาง (DP) และ $f_5 =$ โพรโตคอล (PRO) ตามลำดับดังแสดงในตารางที่ 1

ตารางที่ 3.1 ฟิลด์สมาชิกพื้นฐานของ C_i และ A_i

R_i	$C_i(f_1 \wedge f_2 \dots \wedge f_5)$					A_i
	f_1 (SIP)	f_2 (DIP)	f_3 (SP)	f_4 (DP)	f_5 (PRO)	
R_1	1.2.3.0 - 1.2.3.10	0.0.0.1 - 0.0.1.0	*	80	TCP/UDP	accept

ตามที R_1 ของตารางที่ 1 กระบวนการจัดทำกฎไฟร์วอลล์ เริ่มต้นด้วยการแปลงที่อยู่ IP ของ f_1 และ f_2 เป็นช่วงของจำนวนเต็มบวกโดยสมการ (12) ดังนั้น f_1 และ f_2 จะถูกแปลงเป็นตัวเลขต่อไปนี้: $f_1 \in [16909056, 16909056]$ และ $f_2 \in [1, 256]$ ข้อมูลที่แปลงในลำดับถัดไปคือ f_3 และ f_4 ซึ่งมีตัวเลขตั้งแต่ 0 ถึง $2^{16} - 1$: $f_3 \in [0, 65535]$ และ $f_4 \in [80, 80]$ โดยที่ * หมายถึงตัวเลขทั้งหมดในโดเมนดังกล่าว ฟิลด์ f_5 เป็นทั้งโปรโตคอล TCP และ UDP ดังนั้นจึงถูกแปลงเป็น: $f_5 \in [6, 17]$, โดยที่ TCP = 6 และ UDP = 17 ในกรณีของฟิลด์การตัดสินใจ (A_i) มันจะถูกเปลี่ยนเป็นจำนวนเต็มบวกทั้ง 0 หรือ 1 เช่น $A_i \in \{0, 1\}$ โดยที่ยอมรับ = 1 และ ปฏิเสธ = 0 จากการคำนวณทั้งหมดเหล่านี้ R_1 จะถูกแปลงเป็น:

$$R_1: (f_1 \in [16909056, 16909066] \wedge f_2 \in [16909056, 16909066] \wedge f_3 \in [0, 65535] \wedge f_4 \in [80, 80] \wedge f_5 \in \{6, 17\}) \Rightarrow 1$$

B. การคำนวณความน่าจะเป็นของแต่ละกฎข้อมูลพิเศษ

ในการคำนวณความน่าจะเป็นของแต่ละกฎในตัวแบบนี้ จะมีการเพิ่ม 4 ฟิลด์เพิ่มเติมรวมถึง ความถี่ของแพ็คเกจที่ตรงกับกฎ (FPM), หลักฐานการสร้างกฎ (ECR), ความเชี่ยวชาญของผู้สร้างกฎ (ERC), และลำดับความสำคัญของโปรโตคอล (PRI) ให้ $P(e_1)$, $P(e_2)$, $P(e_3)$ และ $P(e_4)$ คือความน่าจะเป็นของ FPM , ECR , ERC และ PRI ตามลำดับ ดังนั้นผลรวมของความน่าจะเป็นของกฎ R_i เท่ากับ สมการ (13)

$$P(E_i) = \sum_{j=1}^4 P(e_j) \quad (13)$$

โดยที่ $P(E_i)$ คือความน่าจะเป็นของ R_i ตัวอย่างเช่น ข้อมูลพิเศษของ R_i ดังแสดงในตารางที่ 2

ตารางที่ 3.2 ข้อมูลพิเศษของ R_i

R_i	$E_i = (e_1 + \dots + e_4)$			
	$e_1(FPM)$	$e_2(ECR)$	$e_3(ERC)$	$e_4(PRI)$
R_1	2125	3	2	4
R_1'	$e_1' = 0.24$	$e_2' = 1.0$	$e_3' = 0.666$	$e_4' = 0.625$

จาก R_1 ในตารางที่ 2 อัตราการจับคู่ (e_1) ระหว่างแพ็คเก็ตและ R_1 เท่ากับ 2125 ครั้ง e_2, e_3 และ e_4 คือ 3, 2 และ 4 ตามลำดับอธิบายรายละเอียดเพิ่มเติมในส่วนถัดไป ข้อมูลพิเศษทั้ง 4 นี้ถูกคำนวณเป็นรูปแบบ ความน่าจะเป็นที่ข้อมูลอยู่ในช่วงตั้งแต่ 0.0 ถึง 1.0 โดยการปรับขนาดคุณลักษณะ Min-Max ในสมการ (8) ในกรณี e_1 : มันเป็นความถี่ของแพ็คเก็ตที่ตรงกับกฎใด ๆ ของไฟร์วอลล์กระบวนการเริ่มนับจากเวลาที่กฎถูก สร้างขึ้นมาจนถึงปัจจุบัน ตัวอย่างเช่นหากจำนวนการจับคู่สูงสุดและต่ำสุดของกฎใด ๆ ในไฟร์วอลล์คือ 5,000 และ 1200 ตามลำดับดังนั้น e_1' ในที่นี้จะเท่ากับ:

$$e_1' = \frac{m - r_{min}}{r_{max} - r_{min}} \times (t_{max} - t_{min}) + t_{min} = \frac{2125 - 1200}{5000 - 1200} \times (1.0 - 0.0) + 0.0 = 0.423$$

โดยที่ $m = 2125$, $r_{min} = 1200$, $r_{max} = 5,000$, $t_{min} = 0.0$ และ t_{max} เท่ากับ 1.0

อย่างไรก็ตามการบันทึก e_1 ในไฟร์วอลล์ต้องใช้สมการ (10 และ 11) เพื่อให้ข้อมูลราบรื่นขึ้นเนื่องจากข้อมูลที่บันทึกไว้อาจเป็นข้อมูลการแกว่งที่เกิดจากการโจมตีเครือข่าย พฤติกรรมผู้ใช้ หรือการใช้เครือข่ายในช่วงชั่วโมงเร่งด่วน เป็นต้น ช่วงเวลาสำหรับการคำนวณข้อมูลด้วยวิธี EMA จะขึ้นอยู่กับความเหมาะสมของแต่ละองค์กร สำหรับการวิจัยนี้ e_1 จะถูกบันทึกทุกชั่วโมงต่อวันดังตัวอย่างต่อไปนี้:

รับ e_1 จาก R_1 ในแต่ละชั่วโมงต่อวัน: 1300, 1500, 1200, 1300, 1400, 1500, 1800, 4500, 6000, 6300, 5500, 1,000, 2400, 2800, 2600, 2600, 2400, 1900, 1500, 1200, 1,000, 800, 700, 600 ครั้งจากนั้นสามารถคำนวณ EMA ของ e_1 โดยใช้ห้าชั่วโมงแรกดังต่อไปนี้

$$SMA \text{ of } 5^{th} \text{ hour} = 1340.00 + \frac{(1300+1500+1200+1300+1400)}{5} = 1340$$

$$SMA \text{ of } 6^{th} \text{ hour} = 1340.00 + \frac{2}{(5+1)}(1500 - 1340.00) = 1840.00$$

$$SMA \text{ of } 7^{th} \text{ hour} = 1840.00 + \frac{2}{(5+1)}(1500 - 1840.00) = 1940.00$$

$$SMA \text{ of } 8^{th} \text{ hour} = 1940.00 + \frac{2}{(5+1)}(4500 - 1940.00) = 2840.00$$

$$SMA \text{ of } 9^{th} \text{ hour} = 2840.00 + \frac{2}{(5+1)}(6000 - 2840.00) = 3340.00$$

$$SMA \text{ of } 10^{th} \text{ hour} = 3340.00 + \frac{2}{(5+1)}(6300 - 3340.00) = 3440.00$$

$$SMA \text{ of } 11^{th} \text{ hour} = 3440.00 + \frac{2}{(5+1)}(5500 - 3340.00) = 3173.00$$

$$SMA \text{ of } 12^{th} \text{ hour} = 3173.00 + \frac{2}{(5+1)}(1000 - 3340.00) = 1673.00$$

$$SMA \text{ of } 13^{th} \text{ hour} = 1673.00 + \frac{2}{(5+1)}(2400 - 3340.00) = 2140.00$$

$$SMA \text{ of } 14^{th} \text{ hour} = 2140.00 + \frac{2}{(5+1)}(2800 - 3340.00) = 2273.00$$

$$SMA \text{ of } 15^{th} \text{ hour} = 2273.00 + \frac{2}{(5+1)}(2600 - 3340.00) = 2206.00$$

$$SMA \text{ of } 16^{th} \text{ hour} = 2206.00 + \frac{2}{(5+1)}(2600 - 3340.00) = 2206.00$$

$$SMA \text{ of } 17^{th} \text{ hour} = 2206.00 + \frac{2}{(5+1)}(2400 - 3340.00) = 2140.00$$

$$SMA \text{ of } 18^{th} \text{ hour} = 2140.00 + \frac{2}{(5+1)}(1900 - 3340.00) = 1973.00$$

$$SMA \text{ of } 19^{th} \text{ hour} = 1973.00 + \frac{2}{(5+1)}(1500 - 3340.00) = 1840.00$$

$$SMA \text{ of } 20^{th} \text{ hour} = 1740.00 + \frac{2}{(5+1)}(1200 - 3340.00) = 1740.00$$

$$SMA \text{ of } 21^{th} \text{ hour} = 1740.00 + \frac{2}{(5+1)}(1000 - 3340.00) = 1673.00$$

$$SMA \text{ of } 22^{th} \text{ hour} = 1673.00 + \frac{2}{(5+1)}(800 - 3340.00) = 1606.00$$

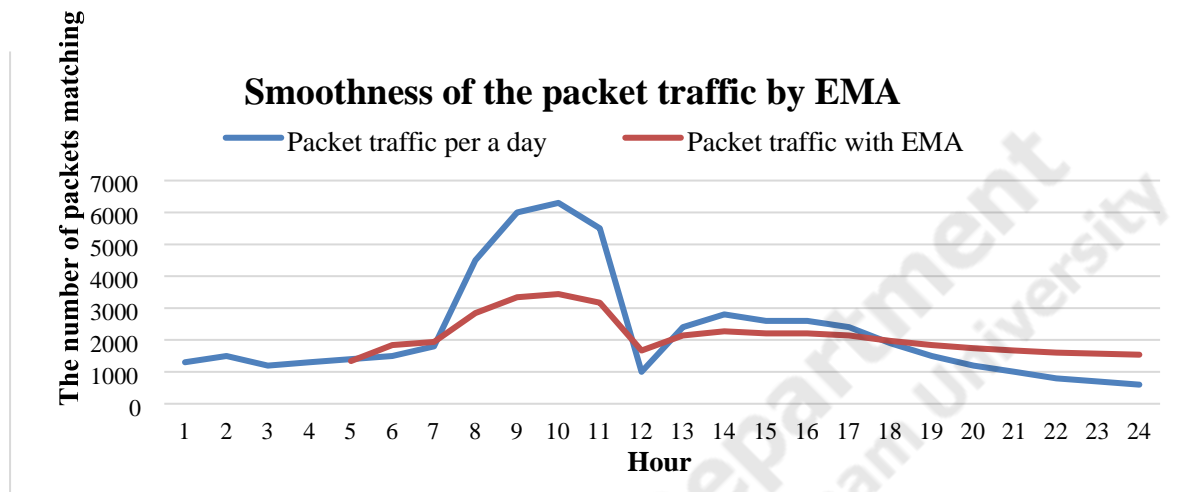
$$SMA \text{ of } 23^{th} \text{ hour} = 1606.00 + \frac{2}{(5+1)}(700 - 3340.00) = 1573.00$$

$$SMA \text{ of } 24^{th} \text{ hour} = 1573.00 + \frac{2}{(5+1)}(600 - 1573.00) = 1540.00$$

การคำนวณ EMA เป็นเวลา 24 ชั่วโมง ดังแสดงในรูปที่ 3 ผลลัพธ์จะถูกคำนวณด้วย SMA อีกครั้ง เพื่อหาค่าเฉลี่ยของแต่ละวันซึ่งจะคำนวณค่าที่คำนวณได้ใน recorded1 ในตารางที่ 2 เพื่อคำนวณค่าเฉลี่ยของ e_1 ของแต่ละวันดังนี้:

$$e_1 = \frac{\sum_{i=5}^n EMA_i}{n} = \frac{(1340.00+1840.00+1940.00+\dots+1540.00)}{20} = 2125.00$$

โดยที่ n คือจำนวนชั่วโมง/วัน ลบด้วยจำนวนชั่วโมงที่ใช้ในอดีต



ภาพประกอบที่ 3.3 การปรับทราฟฟิกแพ็กเก็ตให้ราบรื่นยิ่งขึ้นด้วย EMA

ในกรณี **e2**: หมายถึง เอกสารหรือกระดาษที่ใช้เพื่อยืนยันว่ากฎดังกล่าวได้รับการอนุมัติ ในบทความนี้ หลักฐานการสร้างกฎถูกแบ่งออกเป็น 4 ระดับ:

1. ไม่มีหลักฐานการอนุมัติ
2. ผู้ดูแลระบบไฟร์วอลล์เป็นผู้อนุมัติ
3. หัวหน้าแผนกเป็นผู้อนุมัติ
4. เจ้าขององค์กรเป็นผู้อนุมัติ

โดยการทานน้ำหนักของหลักฐานตามลำดับความสำคัญของผู้อนุมัติเอกสาร มีดังนี้

ไม่มีหลักฐาน = 0

ผู้ดูแล = 1

หัวหน้าแผนก = 2

เจ้าขององค์กร = 3

ตามลำดับ หากน้ำหนักของเอกสารที่ได้รับถูกคำนวณโดยสมการ Min-Max (8) ผลลัพธ์จะเป็น e_2 ให้เจ้าขององค์กรได้รับการอนุมัติให้สร้างกฎ R_1 ผลลัพธ์ของการคำนวณเท่ากับ:

$$e_2 = \frac{m - r_{min}}{r_{max} - r_{min}} \times (t_{max} - t_{min}) + t_{min} = \frac{3 - 0}{3 - 0} \times (1.0 - 0.0) + 0.0 = 1.0$$

โดยที่ $m = 3$, $r_{min} = 0$, $r_{max} = 3$, $t_{min} = 0.0$ และ t_{max} เท่ากับ 1.0

ในกรณี e_3 : ในกรณีของหลักฐานความเชี่ยวชาญในการสร้างกฎนั้นแบ่งออกเป็น 4 ระดับ:

1. ผู้ดูแลระบบมือใหม่
2. ผู้ดูแลที่มีความเชี่ยวชาญเพียงพอ
3. ผู้ดูแลมืออาชีพ
4. ผู้ดูแลระบบที่เชี่ยวชาญมาก

ผู้ดูแลระบบมือใหม่ หมายถึง ผู้ที่เพิ่งได้รับมอบหมายให้กำหนดค่าระบบไฟร์วอลล์ด้วยประสบการณ์น้อยที่สุด เมื่อผู้ดูแลระบบได้กำหนดค่าไฟร์วอลล์สักระยะหนึ่งพวกเขาจะมีความเชี่ยวชาญมากกว่าซึ่งควรมีเวลาทำงานอย่างน้อย 3 - 5 ปีซึ่งเรียกว่าผู้ดูแลระบบปกติสำหรับผู้ที่มีประสบการณ์ในการฝึกอบรมหรือปรับแต่งไฟร์วอลล์เป็นจำนวนมากด้วยเวลาทำงาน 5 - 10 ปีพวกเขาจะเป็นผู้ดูแลระบบมืออาชีพ สำหรับผู้ที่ได้รับการฝึกฝนมากมายและมีใบรับรองเกี่ยวกับไฟร์วอลล์พวกเขาจะเป็นผู้ดูแลระบบที่เชี่ยวชาญ ในบทความนี้กำหนดน้ำหนักของความเชี่ยวชาญดังต่อไปนี้ e_3 :

$$\text{ผู้ดูแลระบบมือใหม่} = 0$$

$$\text{ผู้ดูแลระบบปกติ} = 1$$

$$\text{ผู้ดูแลระบบมืออาชีพ} = 2$$

$$\text{ผู้ดูแลระบบความเชี่ยวชาญมาก} = 3$$

ให้ผู้ดูแลระบบมืออาชีพสร้างกฎ R_1 ผลลัพธ์จะถูกคำนวณดังนี้:

$$e_2 = \frac{2 - 0}{3 - 0} \times (1.0 - 0.0) + 0.0 = 0.666$$

ในกรณี e_4 : โพรโตคอลที่สื่อสารบนเครือข่ายคอมพิวเตอร์มักจะทำให้ความสำคัญเช่นการประชุมทางวิดีโอจะต้องราบรื่นในระหว่างการประชุมตลอดเวลา ในทางกลับกันการส่งจดหมายอิเล็กทรอนิกส์นั้นไม่จำเป็นต้องส่งและรับทันที การจัดลำดับความสำคัญของโพรโตคอลสามารถทำได้ขึ้นอยู่กับนโยบายของแต่ละองค์กร ในการวิจัยนี้การจัดลำดับความสำคัญของโพรโตคอลขึ้นอยู่กับลำดับความสำคัญจาก 3 GPP QoS Class Identification [xxx] โดย IP Multimedia มีความสำคัญสูงสุด (1 = สูงสุด) และ Chat, FTP และ P2P มีลำดับความสำคัญต่ำสุด (9 = ต่ำสุด) จาก e_4 ในตารางที่ 2 เป็นแอปพลิเคชันการประชุมทางไกลซึ่งบ่งชี้ความสำคัญ ลำดับที่ 4 เมื่อประมวลผลในรูปแบบของความน่าจะเป็นโดยใช้ Min-Max Scaling ผลลัพธ์จะเท่ากับ:

$$e'_2 = \frac{6 - 1}{9 - 1} \times (1.0 - 0.0) + 0.0 = .625$$

โดยที่ $m = 4$, $r_{min} = 1$, $r_{max} = 9$, $t_{min} = 0.0$ และ $t_{max} = 1.0$ สังเกตว่าลำดับความสำคัญของโพรโตคอลที่คำนวณจะต้องกลับลำดับความสำคัญเช่นจาก 9 เป็น 1 และจาก 1 เป็น 9 ตัวอย่างเช่นลำดับความสำคัญของ 4 จะกลับเป็น 6

สุดท้าย ในภาพประกอบที่ 3 แสดงถึงตัวอย่างของกฎไฟร่วอลล์ที่ประกอบด้วยความผิดปกติทั้งหมดที่กล่าวถึงก่อนหน้านี้ และกฎเหล่านี้จะถูกดำเนินการในขั้นตอนต่อไป

$$\begin{aligned} R_1: f_1 \in [1, 100] \wedge f_2 \in [1, 100] \wedge f_3 \in [0, 65535] \wedge f_4 \in [80, 85] \wedge f_5 \in [6, 17] &\Rightarrow 1 \\ R_2: f_1 \in [10, 50] \wedge f_2 \in [20, 60] \wedge f_3 \in [0, 65535] \wedge f_4 \in [80, 80] \wedge f_5 \in [6, 17] &\Rightarrow 0 \\ R_3: f_1 \in [20, 40] \wedge f_2 \in [30, 70] \wedge f_3 \in [0, 65535] \wedge f_4 \in [80, 90] \wedge f_5 \in [6, 17] &\Rightarrow 0 \\ R_4: f_1 \in [20, 30] \wedge f_2 \in [20, 30] \wedge f_3 \in [0, 65535] \wedge f_4 \in [80, 82] \wedge f_5 \in [6, 17] &\Rightarrow 0 \\ R_5: f_1 \in [1, 100] \wedge f_2 \in [1, 100] \wedge f_3 \in [0, 65535] \wedge f_4 \in [30, 90] \wedge f_5 \in [6, 17] &\Rightarrow 1 \\ R_6: f_1 \in [1, 100] \wedge f_2 \in [1, 100] \wedge f_3 \in [0, 65535] \wedge f_4 \in [0, 65535] \wedge f_5 \in [6, 17] &\Rightarrow 0 \end{aligned}$$

ข้อมูลพิเศษของแต่ละกฎเมื่อผ่านกระบวนการจัดเตรียมข้อมูลจะสร้างผลลัพธ์ต่อไปนี้ ($R_i \rightarrow R'_i$):

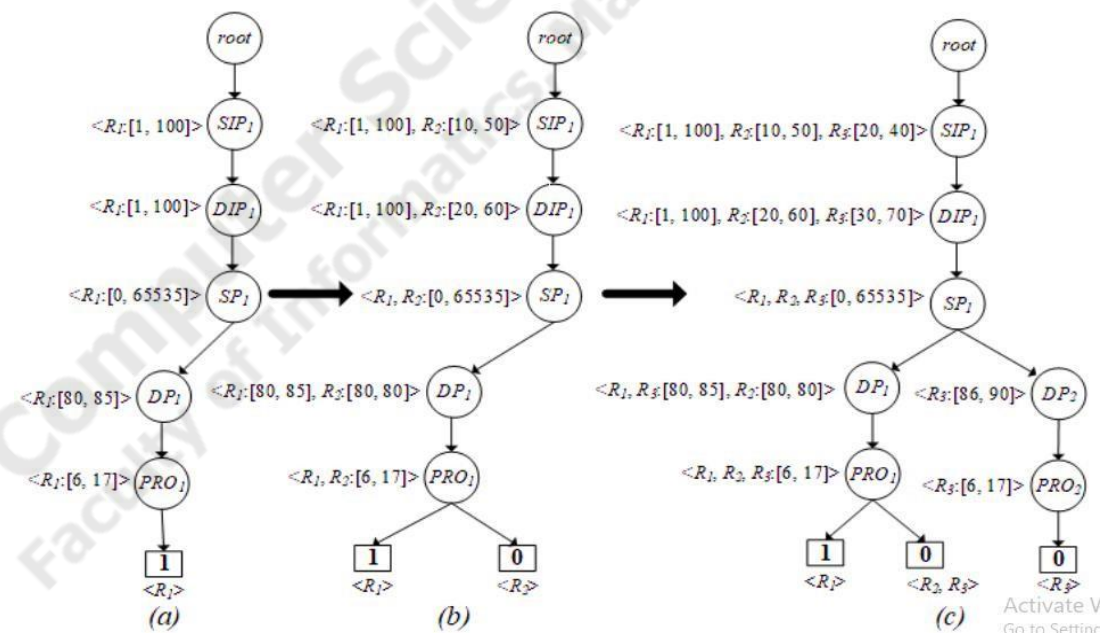
$$\begin{aligned} R_1: e_1 = 2500, e_2 = 1, e_3 = 2, e_4 = 6 &\rightarrow R'_1: e'_1 = 0.26, e'_2 = 0.33, e'_3 = 0.67, e'_4 = 0.67 \\ R_2: e_1 = 1500, e_2 = 3, e_3 = 3, e_4 = 3 &\rightarrow R'_1: e'_1 = 0.06, e'_2 = 1.00, e'_3 = 1.00, e'_4 = 0.33 \\ R_3: e_1 = 2000, e_2 = 2, e_3 = 1, e_4 = 8 &\rightarrow R'_1: e'_1 = 0.16, e'_2 = 0.67, e'_3 = 0.33, e'_4 = 0.33 \\ R_4: e_1 = 3200, e_2 = 1, e_3 = 2, e_4 = 5 &\rightarrow R'_1: e'_1 = 0.40, e'_2 = 0.33, e'_3 = 0.67, e'_4 = 0.56 \end{aligned}$$

$$R_5: e_1 = 1200, e_2 = 0, e_3 = 3, e_4 = 2 \rightarrow R'_1: e'_1 = 0.00, e'_2 = 1.00, e'_3 = 0.00, e'_4 = 0.22$$

$$R_6: e_1 = 5000, e_2 = 0, e_3 = 3, e_4 = 9 \rightarrow R'_1: e'_1 = 0.76, e'_2 = 0.00, e'_3 = 1.00, e'_4 = 1.00$$

3.3.2 การวิเคราะห์และตรวจจับความผิดปกติ (ขั้นตอนที่ 2)

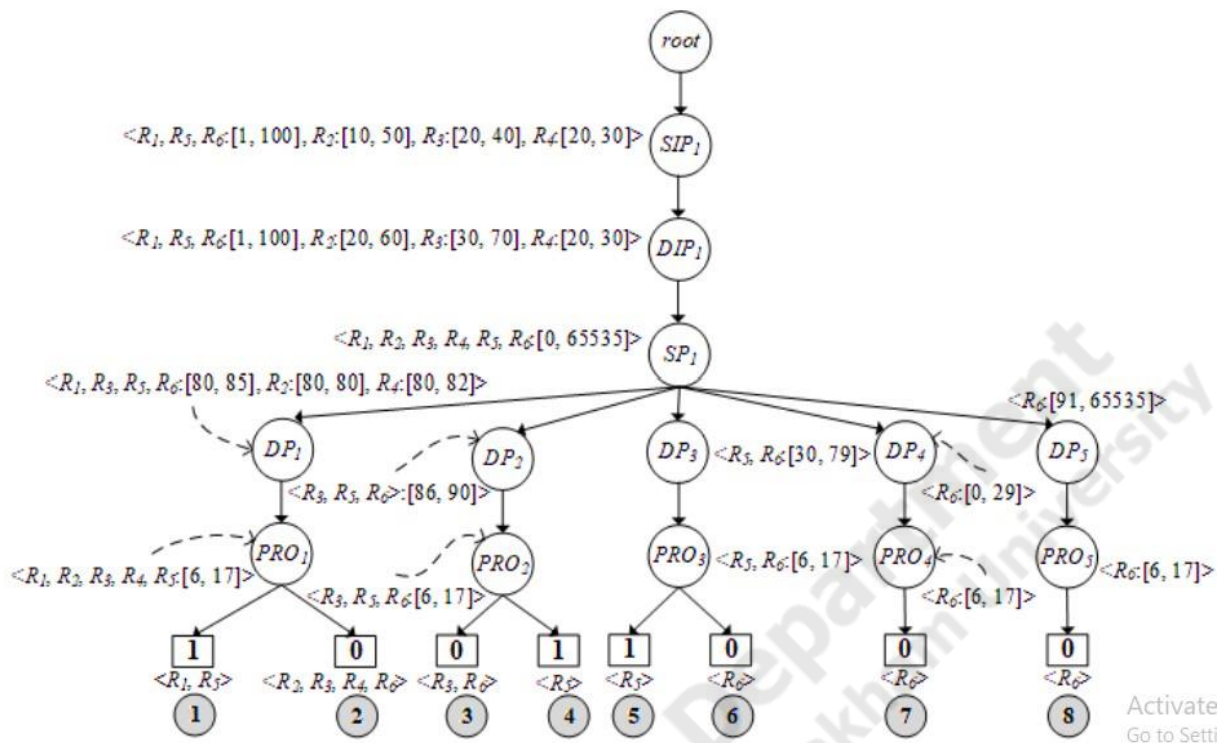
ในขั้นตอนนี้ก็มาจากขั้นตอนที่ 1 จะใช้ในการสร้างโครงสร้างต้นไม้ที่เรียกว่า เส้นทางทางเลือกต้นไม้ (PST) เพื่อวิเคราะห์ความผิดปกติ อัลกอริทึมเริ่มต้นด้วยการสร้างรูดโหนดของ PST หลังจากนั้นฟิลด์ f_1 ของกฎแรกจะถูกสร้างขึ้นเป็นโหนดแรกบนทรี คือ SIP1 ดังแสดงในรูปที่ 4 (a) ในโหนดนี้จะบันทึก IP ต้นทาง (SIP) ของ R_1 ให้เป็น $\langle R_1: [1, 100] \rangle$ โดยที่ $[1, 100] = f_1$ โหนดถัดไป (DIP1) จะจัดเก็บช่วงของ IP ปลายทาง (DIP) (f_2) ของ R_1 ตั้งแต่ 1 ถึง 100 ถัดไปเป็นโหนดที่บันทึก พอร์ตต้นทาง (SP) ของช่วงตั้งแต่ 0 ถึง 65535 เรียกว่า (SP1) โหนดถัดไปเป็น DP1 โหนดนี้มีกลุ่มของ พอร์ตปลายทาง (DP) f_4 ระหว่าง 80 และ 85 ($\langle R_1: [80, 85] \rangle$) ฟิลด์สุดท้าย f_5 ของ R_1 เป็น PRO1 ซึ่งเก็บช่วงของโปรโตคอล TCP และ UDP ในการตัดสินใจตามกล่องสี่เหลี่ยมด้านล่างในทรีประกอบด้วย การตัดสินใจยอมรับ (1) ของ R_1 ในตอนท้ายของต้นไม้มัน Record สิ่งที่ถูกเป็นสมาชิกของเส้นทางนี้เช่น $\langle R_1 \rangle$



ภาพประกอบที่ 3.4 การสร้างกฎ $R_1(a)$, $R_2(b)$ และ $R_3(c)$ ลงใน PST

ในลำดับถัดไปกฎข้อที่สอง R_2 จะถูกนำเข้าสู่ PST ดังแสดงในรูปที่ 4 (b) ขั้นตอนแรก f_1 ของกฎ $R_2 \subset f_1$ ของ

R_1 , ดังนั้น กฎฟิลต์ที่ 1 ของ R_2 นี้ (f_1) ใช้เส้นทางเดียวกับ $R_1(f_1)$ และยังมีบันทึก $\langle R_2: [10, 50] \rangle$ ลงใน โหนด SIP1 เช่นเดียวกัน $R_2(f_1) \subset R_1(f_2)$ จะถูกบันทึกไปยังโหนดเดียวกัน ($DIP1 = \langle R_1: [1, 100], R_2: [20, 60] \rangle$) และเดินทางข้ามแบบเดียวกันกับ R_1 คล้ายกับ $R_2(f_3)$ ซึ่งเท่ากับ $R_1(f_3)$ ดังนั้น $R_2(f_3)$ จึงถูกต่อท้ายในโหนด SP1 เป็น $\langle R_1, R_2: [0, 65536] \rangle$ ในกรณีของ $R_2(f_4)$ และ $R_1(f_4)$, $R_2(f_4)$ เป็นชุดย่อยของ $R_1(f_4)$ ดังนั้นข้อมูลของ DP1 จึงถูกอัปเดตเป็น $\langle R_1: [80, 85], R_2: [80, 80] \rangle$ และ PRO1 ได้รับการอัปเดตเป็น $\langle R_1, R_2: [6, 17] \rangle$ ในทางกลับกันการตัดสินใจของ R_1 และ R_2 ไม่เหมือนกัน ดังนั้นเส้นทางการตัดสินใจจะต้องแยกออกจากกันโดยที่ $\langle R_1 \rangle = 1, \langle R_2 \rangle = 0$ สำหรับการเพิ่มกฎ $R_3(c)$ ลงใน PST คล้ายกับการใส่กฎ R_2 ซึ่งมีความแตกต่างกันเพียงเล็กน้อย คือ ในตำแหน่งระดับ โพรโทคอลในทรี เนื่องจาก $R_3(f_4)$ เป็น Superset ของ $R_1(f_4)$ และ $R_2(f_4)$ พอร์ตปลายทางบางแห่งของ $R_3(f_4)$ จะต้องแยกออกเป็นโหนดอื่นของต้นไม้ คือ DP2 ซึ่งเก็บพอร์ตปลายทางตั้งแต่ 86 ถึง 90 ($R_3(f_4) - R_1(f_4)$) เช่น $\langle R_3: [86, 90] \rangle$ พอร์ตปลายทางที่เหลืออยู่รวมกับ DIP1 ใน เส้นทางแรกพร้อมกับ R_1 และ R_2 เป็น $\langle R_1, R_3: [80, 85], R_2: [80, 80] \rangle$ การตัดสินใจของ R_3 ไม่ได้รับอนุญาตในทั้งสองเส้นทางโดยที่ $\langle R_3 \rangle = 0$ กฎไฟร์วอลล์ที่เหลืออยู่ (R_4, R_5, R_6) จะถูกเรียกใช้งาน เช่นกฎก่อนหน้า (R_1, R_2, R_3) หากกฎทั้งหมดได้รับการดำเนินการอย่างประสบความสำเร็จผ่าน PST ผลลัพธ์ที่แสดงจะแสดงในรูปที่ 5



ภาพประกอบที่ 3.5 โครงสร้าง PST สมบูรณ์หลังจากรวบรวมกฎทั้งหมด

ในกระบวนการตรวจสอบความผิดปกติของกฎอัลกอริทึมจะใช้ข้อมูลที่บันทึกไว้ในแต่ละโหนดเพื่อตรวจสอบความผิดปกติโดยใช้ผลคูณคาร์ทีเซียนของโหนดทั้งหมดที่แยกจากชั้นโปรโตคอล (PRO_i) และมองกลับจากด้านล่างถึงรูtdังนี้

กลุ่ม 1: เส้นทางหมายเลข ① และ ② ภายใตโหนด PRO_1

$$CP(< R_1, R_5 >) = (R_1, R_5) \tag{14}$$

$$CP(< R_2, R_3, R_4, R_6 >) = (R_2, R_3), (R_2, R_4), (R_2, R_6), (R_3, R_4), (R_4, R_6) \tag{15}$$

$$CP(< R_1, R_5 >, < R_2, R_3, R_4, R_6 >) = (R_1, R_2), (R_1, R_3), (R_1, R_4), (R_1, R_5), (R_5, R_2), (R_5, R_3), (R_5, R_4), (R_5, R_6) \tag{16}$$

กลุ่ม 2: เส้นทางหมายเลข ① และ ② ภายใตโหนด PRO_1

$$CP(< R_3, R_6 >) = (R_3, R_6) \tag{17}$$

$$CP(\langle R_3, R_6 \rangle, \langle R_5 \rangle) = (R_3, R_5), (R_6, R_5) \quad (18)$$

กลุ่ม 3: เส้นทางหมายเลข ① และ ② ภายใต้โหนด PRO1

$$CP(\langle R_5, R_6 \rangle) = (R_5, R_6) \quad (19)$$

ตำแหน่ง CP คือ ผลคูณคาร์ทีเซียน

ผลลัพธ์ของผลคูณคาร์ทีเซียนแต่ละคู่จะคำนวณโดยสมการ (3) ถึง (7) เพื่อค้นหาประเภทของความผิดปกติ ตัวอย่างเช่นในสมการ (14) ของกลุ่ม 1, (R_1, R_5) มีการตัดสินใจเดียวกัน (1) ดังนั้นจึงดำเนินการโดยสมการ (6) ผลลัพธ์ของการดำเนินการ คือ ความผิดปกติซ้ำซ้อน (Redundancy) ตัวอย่างถัดไปในสมการ (15) ประกอบด้วย (R_2, R_3) , (R_2, R_4) , (R_2, R_6) , (R_3, R_4) และ (R_4, R_6) โดยกฎทุกคู่มีการตัดสินใจเหมือนกัน ดังนั้นทั้งหมดจะถูกดำเนินการโดยสมการ (6) เช่นเดียวกับสมการ (14) ผลลัพธ์ของผลคูณคาร์ทีเซียนในสมการ (16) คือ (R_1, R_2) , (R_1, R_3) , (R_1, R_4) , (R_1, R_6) , (R_5, R_2) , (R_5, R_3) , (R_5, R_4) และ (R_5, R_6) ทั้งคู่มีการตัดสินใจที่แตกต่างกันดังนั้นกฎเหล่านี้จะดำเนินการโดยสมการ (3), (4) และ (5) ตามลำดับ ผลลัพธ์ที่คำนวณได้จะแสดงดังต่อไปนี้:

(R_2, R_3) = Redundancy and Semantics loss (executed by equation (6)),

(R_2, R_4) = Redundancy and Semantics loss (6),

(R_2, R_6) = Redundancy and Semantics loss (6),

(R_3, R_4) = Redundancy and Semantics loss (6),

(R_4, R_6) = Redundancy and Semantics loss (6),

(R_1, R_2) = Shadowing (3),

(R_1, R_3) = Correlation (4),

(R_1, R_4) = Shadowing (3),

(R_1, R_6) = Generalization (5),

(R_5, R_2) = Generalization (5),

$(R_5, R_3) = \text{Generalization (5)}$,

$(R_5, R_4) = \text{Generalization (5)}$, $(R_5, R_6) = \text{Generalization (5)}$.

ผลลัพธ์ที่ได้จากการคำนวณหมายเลขกลุ่ม 2 และ 3 ในสมการที่ 17 ถึง 19:

$(R_3, R_6) = \text{Redundancy and Semantics loss (executed by equation (6))}$,

$(R_3, R_5) = \text{Generalization (5)}$, $(R_6, R_5) = \text{Generalization (5)}$.

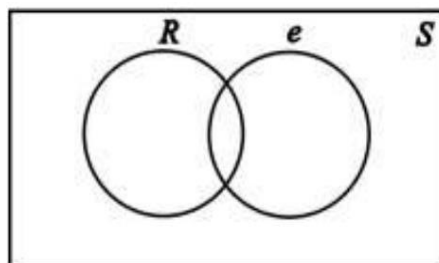
การสูญเสียความหมายของกฎมักจะเกิดขึ้นจากกฎที่ซ้ำซ้อนกัน ดังนั้นสมาชิกทุกตัวในสมการที่ 14, 15 และ 17 จึงเป็นไปได้ที่จะสูญเสียความหมายเช่นกัน

3.3.3 การคำนวณความน่าจะเป็นของแต่ละเส้นทางของ PST (ขั้นตอนที่ 3)

PST ที่ได้รับจากขั้นตอนก่อนหน้านี้ใช้ในการคำนวณความน่าจะเป็นของแต่ละเส้นทางเพื่อให้คำแนะนำแก่ ผู้ดูแลระบบในการตัดสินใจเกี่ยวกับการเพิ่มประสิทธิภาพกฎไฟร์วอลล์อย่างมีประสิทธิภาพซึ่งมีขั้นตอนต่อไปนี้:

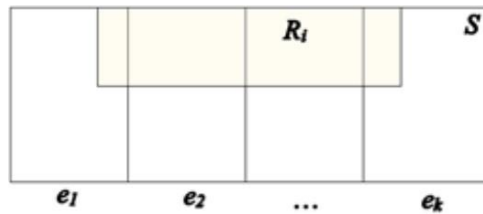
ให้ R เป็นกฎไฟร์วอลล์, e เป็นแอตทริบิวต์คุณสมบัติสำหรับกฎไฟร์วอลล์และ S เป็นขอบเขตของตัวอย่างที่กำลังพิจารณา แล้วความน่าจะเป็นแบบมีเงื่อนไขของ R ที่รู้ค่า e : แสดงได้สมการ (20) และแสดงในภาพประกอบที่ 3.6

$$P(R|e) = \frac{P(Rne)}{P(e)} \quad (20)$$



ภาพประกอบที่ 3.6 ความน่าจะเป็นแบบมีเงื่อนไขของ R ที่รู้ค่า e แสดงในเวนนไดอะแกรม

ตามภาพประกอบที่ 3.7, ให้ R_i เป็นกฎใด ๆ , e_k เป็นคุณลักษณะใด ๆ (ข้อมูลพิเศษ) ของ R :



ภาพประกอบที่ 3.7 ความน่าจะเป็นที่มีเงื่อนไขของ R_i ที่ได้รับ e_k

$$e_i \cap e_k = \emptyset ; \forall i, k$$

$$e_1 \cup e_2 \cup e_3 \cup \dots \cup e_k = S = 1$$

$$P(R_i) = P(R_i \cap e_1) \cup P(R_i \cap e_2) \cup P(R_i \cap e_3) \cup \dots \cup P(R_i \cap e_k) \quad (21)$$

จากสมการ (20) $P(R|e) = \frac{P(R \cap e)}{P(e)}$, ดังนั้น

$$P(R \cap e) = P(e)P(R|e) \text{ or } P(R)P(e|R)$$

เนื่องจากเรารู้ค่าของ $P(e)$ แล้วเราเลือก $P(R \cap e) = P(e)P(R|e)$ และแทน i และ k ลงในสมการ ดังนี้

$$P(R_i \cap e_k) = P(e_k)P(R_i|e_k) \quad (22)$$

การใช้สมการ (22) แทนสมการ (21):

$$P(R_i) = P(e_1)P(R_i|e_1) \cup P(e_2)P(R_i|e_2) \cup \dots \cup P(e_k)P(R_i|e_k) \quad (23)$$

$$p(e_k|R_i) = \frac{P(e_k)P(R_i|e_k)}{P(R_i)} = \frac{P(e_k)P(R_i|e_k)}{\sum_{i,k=1}^n P(R_i|e_k)} \quad (24)$$

กำหนดให้ e_k เป็นคุณสมบัติตัวใด ๆ เมื่อรู้ค่าความน่าจะเป็นของกฎใด ๆ ที่กำลังพิจารณา จากนั้นแทนค่า

ดังกล่าวไปยังกฎของ Bayes ซึ่งสามารถอนุมานของเบย์ได้ดังนี้

$$p(e_k|R_i) = \frac{P(R_i \cap e_k)}{P(R_i)} = \frac{P(e_k)P(R_i|e_k)}{\sum_{i,k=1}^n P(e_k)P(R_i|e_k)} \quad (25)$$

จากตัวอย่างของฟิลต์คุณสมบัติกฎไฟร์วอลล์ (ฟิลต์พิเศษ) ในขั้นตอนที่ 2 มี 4 ฟิลต์ (e_1' , e_2' , e_3' , e_4') โดยที่ e_1' = ความถี่ของแพ็กเก็ตที่จับคู่กับกฎ (FPM), e_2' = หลักฐานของการสร้างกฎ (ECR), e_3' = ความเชี่ยวชาญของผู้สร้างกฎ (ERC) และ e_4' = ลำดับความสำคัญของโปรโตคอล (PRI) สมมติว่าน้ำหนักของแต่ละคุณลักษณะ e_i' เท่ากัน ดังนั้น $P(e_1')$, $P(e_2')$, $P(e_3')$ และ $P(e_4')$ เท่ากับ 25% (0.25) แทนที่ค่าต่าง ๆ ในสมการ (24) และ (25), ผลการคำนวณ:

$$P(e_1') = 0.25, P(e_2') = 0.25, P(e_3') = 0.25, P(e_4') = 0.25$$

ในกรณีของ $P(R_1')$:

$$P(R_1|e_1') = 0.26, P(R_1|e_2') = 0.33, P(R_1|e_3') = 0.67$$

$$\begin{aligned} P(R_i) &= P(e_1')P(R_1|e_1') + P(e_2')P(R_1|e_2') + P(e_3')P(R_1|e_3') + P(e_4')P(R_1|e_4') + \\ &= P(e_1')P(R_2|e_2') + P(e_2')P(R_2|e_2') + P(e_3')P(R_2|e_3') + P(e_4')P(R_2|e_4') + \end{aligned}$$

⋮

$$= P(e_1')P(R_6|e_2') + P(e_2')P(R_6|e_2') + P(e_3')P(R_6|e_3') + P(e_4')P(R_6|e_4')$$

$$P(R_i) = ((0.25 * 0.26) + 0.25 * 0.33) + (0.25 * 0.67) + (0.25 * 0.67) +$$

$$= ((0.25 * 0.06) + (0.25 * 1) + (0.25 * 1) + (0.25 * 0.33)) +$$

⋮

$$= ((0.25 * 0.76) + (0.25 * 0) + (0.25 * 1) + (0.25 * 1))$$

$$= 3.07$$

$$P(e_1'|R_1) = \frac{P(e_1')P(R_1|e_1')}{P(R_i)} = \frac{0.25*0.26}{3.07} = 0.0211$$

$$P(e_2'|R_1) = \frac{P(e_2')P(R_1|e_2')}{P(R_i)} = \frac{0.25*0.33}{3.07} = 0.0268$$

$$P(e_3'|R_1) = \frac{P(e_3')P(R_1|e_3')}{P(R_i)} = \frac{0.25*0.67}{3.07} = 0.0545$$

$$P(e_4'|R_1) = \frac{P(e_4')P(R_1|e_4')}{P(R_i)} = \frac{0.25*0.67}{3.07} = 0.0545$$

$$\therefore P(R_1') = P(e_1'|R_1) + P(e_2'|R_1) + P(e_3'|R_1) + P(e_4'|R_1) = 0.157$$

ในกรณีของ $P(R_2')$:

$$P(R_2|e_1') = 0.06, P(R_2|e_2') = 1.0, P(R_2|e_3') = 1.0, P(R_2|e_4') = 0.33$$

$$P(e_1'|R_2) = 0.0488, P(e_2'|R_2) = 0.0814, P(e_3'|R_2) = 0.0814, P(e_4'|R_2) = 0.0268$$

$$\therefore P(R_2') = P(e_1'|R_2) + P(e_2'|R_2) + P(e_3'|R_2) + P(e_4'|R_2) = 0.194$$

ในกรณีของ $P(R_3')$:

$$P(R_3|e_1') = 0.16, P(R_3|e_2') = 0.67, P(R_3|e_3') = 0.33, P(R_3|e_4') = 0.89$$

$$P(e_1'|R_3) = 0.0130, P(e_2'|R_3) = 0.0545, P(e_3'|R_3) = 0.0268, P(e_4'|R_3) = 0.0724$$

$$\therefore P(R_3') = P(e_1'|R_3) + P(e_2'|R_3) + P(e_3'|R_3) + P(e_4'|R_3) = 0.194$$

ในกรณีของ $P(R_4')$:

$$P(R_4|e_1') = 0.40, P(R_4|e_2') = 0.33, P(R_4|e_3') = 0.67, P(R_4|e_4') = 0.56$$

$$P(e_1'|R_4) = 0.0325, P(e_2'|R_4) = 0.268, P(e_3'|R_4) = 0.0545, P(e_4'|R_4) = 0.0456$$

$$\therefore P(R_4') = P(e_1'|R_4) + P(e_2'|R_4) + P(e_3'|R_4) + P(e_4'|R_4) = 0.159$$

ในกรณีของ $P(R_5')$:

$$P(R_5|e_1') = 0.0, P(R_5|e_2') = 1.0, P(R_5|e_3') = 0.0, P(R_5|e_4') = 0.22$$

$$P(e_1'|R_5) = 0.0, P(e_2'|R_5) = 0.0814, P(e_3'|R_5) = 0.0, P(e_4'|R_5) = 0.0179$$

$$\therefore P(R_5') = P(e_1'|R_5) + P(e_2'|R_5) + P(e_3'|R_5) + P(e_4'|R_5) = 0.999$$

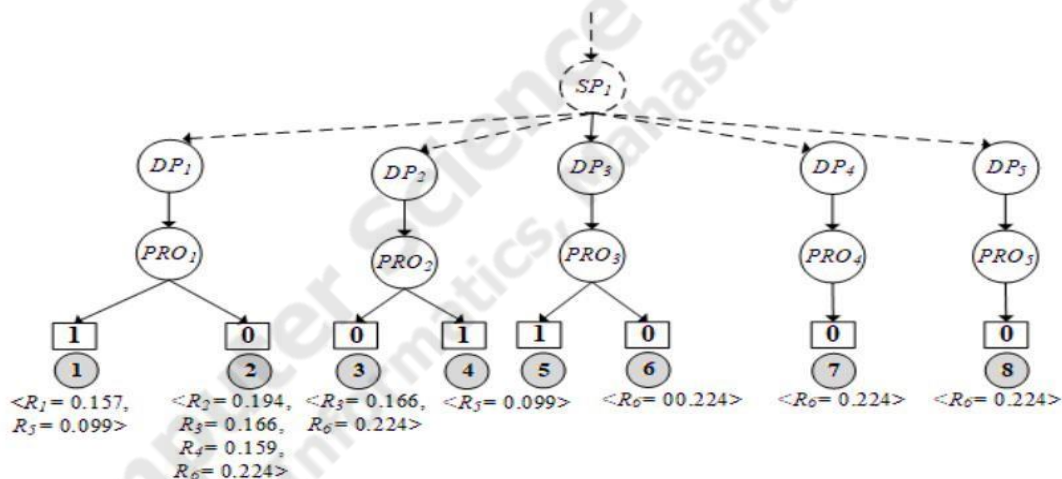
กรณีสุดท้ายของ $P(R_6')$:

$$P(R_6|e_1') = 0.76, P(R_6|e_2') = 0.0, P(R_6|e_3') = 1.0, P(R_6|e_4') = 1.0$$

$$P(e_1'|R_6) = 0.0618, P(e_2'|R_6) = 0.0, P(e_3'|R_6) = 0.0814, P(e_4'|R_6) = 0.0814$$

$$\therefore P(R_6') = P(e_1'|R_6) + P(e_2'|R_6) + P(e_3'|R_6) + P(e_4'|R_6) = 0.224$$

ตามน้ำหนักของคุณสมบัติกฎแต่ละกฎ ผู้ดูแลระบบสามารถปรับน้ำหนักของแต่ละคุณสมบัติได้ตามต้องการ เช่น $P(e_1') = 35\%$ (0.35), $P(e_2') = 15\%$ (0.15), $P(e_3') = 25\%$ (0.25) และ $P(e_4') = 25\%$ (0.25) ขึ้นอยู่กับแต่ละองค์กร เพื่อให้น้ำหนักกับคุณสมบัติของกฎเหล่านั้น หลังจากการคำนวณค่าความน่าจะเป็นทั้งหมดเรียบร้อยแล้วอัลกอริทึมจะแทรกความน่าจะเป็นเหล่านี้ไปยังแต่ละเส้นทางของ PST ดังแสดงในภาพประกอบที่ 3.8



ภาพประกอบที่ 3.8 การใส่ความน่าจะเป็นของแต่ละ R_i ลงใน PSD

3.3.4 การเพิ่มประสิทธิภาพความผิดปกติของกฎ (ขั้นตอนสุดท้าย)

ความผิดปกติที่เกิดขึ้นจากกฎของไฟร์วอลล์มีวิธีแก้ไขปัญหานั้นที่แตกต่างกันเช่นความผิดปกติซ้ำซ้อน (Redundant) ถูกแก้ไขโดยการรวมกฎเข้าด้วยกัน อย่างไรก็ตามวิธีนี้อาจส่งผลให้เกิดการสูญเสียความหมายแทนความผิดปกติอื่น ๆ เช่น Shadowing, Correlation และ Generalisation ไม่ควรใช้วิธีการรวมกันเพราะการตัดสินใจแตกต่างกัน บางครั้งผู้ดูแลระบบเลือกที่จะแก้ไขปัญหาด้วยการสลับกฎ แต่พวกเขาไม่แน่ใจว่าจะ

เกิดอะไรขึ้นในอนาคต ดังนั้นงานวิจัยนี้ใช้ความน่าจะเป็นที่คำนวณได้ในแต่ละกฎเพื่อช่วยผู้ดูแลระบบตัดสินใจว่าจะดำเนินการกับความผิดปกติอย่างไรเพื่อให้เกิดประสิทธิภาพและความสมเหตุสมผลสูงสุด ตัวอย่างเช่น หมายเลขเส้นทาง 1 (1) ของรูปที่ 5, R_1 และ R_5 คือ ความซ้ำซ้อน (Redundant) หากผู้ดูแลระบบตัดสินใจรวมกฎทั้งสองเข้าด้วยกันผลลัพธ์ก็คือ

$$R_1 \Phi R_5 = R_1(f_1) \cup R_5(f_1), R_1(f_2) \cup R_5(f_2) \cup \dots \cup R_1(f_5) \cup R_5(f_5)$$

$$R_1 \Phi R_5 = ([1,100] \cup [1,100]), ([1,100] \cup [1,100]), ([0,65535] \cup [0,65535]), ([80,85] \cup [80,85]), ([6,17] \cup [6,17])$$

$$R_{new} = f_1 \in [1,100] \wedge f_2 \in [1,100] \wedge f_3 \in [0,65535] \wedge f_4 \in [80,85] \wedge f_5 \in [6,17] \Rightarrow 1$$

ข้อมูลคุณสมบัติของ R_1 : $e_1 = 2500, e_2 = 1, e_3 = 2, e_4 = 6$; และ R_5 คือ $e_1 = 1200, e_2 = 3, e_3 = 0, e_4 = 2$ ดังนั้น, $R_1(e_i) \Phi R_5(e_i)$:

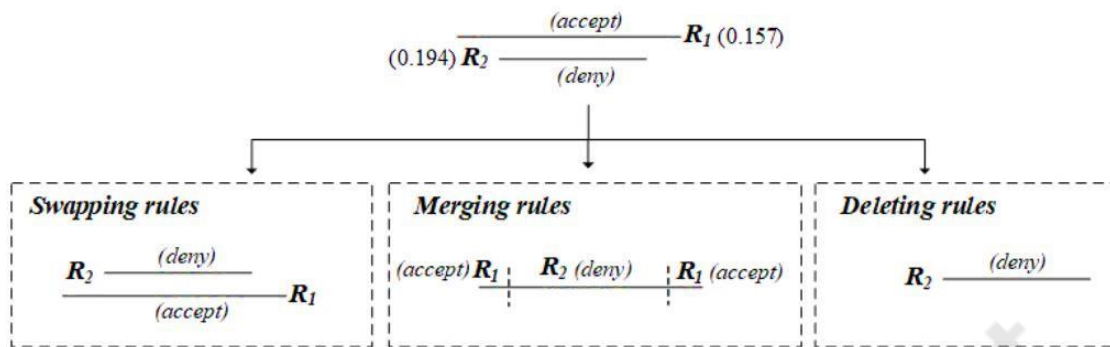
$$R_1(e_1) \Phi R_5(e_i) = R_1(e_1) + R_5(e_1), \text{Max}(R_1(e_2), R_5(e_2)), \text{Max}(R_1(e_3), R_5(e_3)), \text{max}(R_1(e_4), R_5(e_i))$$

$$= R_1(2500) + R_5(1200), \text{Max}(R_1(1), R_5(3)), \text{Max}(R_1(2), R_5(0)), \text{Max}(R_1(6), R_5(2))$$

$$R_{new} \rightarrow (e_1 = 3700, e_2 = 3, e_3 = 2, e_4 = 6)$$

โดยที่ R_{new} เป็นกฎการรวมใหม่ Φ เป็นตัวดำเนินการผสาน $\text{Max}()$ เป็นฟังก์ชันที่คำนวณค่าสูงสุดในลักษณะเดียวกับ $(R_2, R_3), (R_2, R_4), \dots$, และ (R_3, R_6) ซึ่งเป็นความขัดแย้งซ้ำซ้อน เพื่อให้สามารถแก้ไขปัญหาได้โดยการรวมกฎเช่น (R_1, R_5) วิธีการแก้ไขความผิดปกติที่เหลืออยู่ (Shadowing, Correlation และ Generalization) สามารถทำได้สามวิธี คือ การยุบรวม การสลับ และการลบกฎ อย่างไรก็ตามผู้ดูแลระบบต้องมีทักษะสูงและตระหนักถึงผลที่ตามมาที่วิจัยเกือบทั้งหมดไม่แนะนำให้ใช้วิธีการเหล่านี้และมักจะผลักระยะให้ดุลยพินิจของผู้ดูแลระบบแทน หากผู้ดูแลระบบเลือกวิธีใดวิธีหนึ่งจากสามวิธีพวกเขาสามารถทำได้โดยตรวจสอบความน่าจะเป็นของแต่ละกฎ หากความน่าจะเป็นของกฎใด ๆ นั้นสูงสุดหมายความว่าผู้ดูแลระบบมีโอกาสแก้ไขความผิดปกติให้มีประสิทธิภาพมากขึ้น ตัวอย่างเช่น (R_1, R_2) เป็นความผิดปกติแบบ shadowing หากผู้ดูแลระบบจำเป็นต้อง ลบ รวม หรือสลับกฎ ผู้ดูแลระบบควรให้ความสำคัญกับ R_2 มากกว่า R_1 เพราะ

R_2 มีความน่าจะเป็นที่สูงกว่าของ R_1 ($R_1 = 0.157, R_2 = 0.194$) ดังแสดงในภาพประกอบที่ 3.9



ภาพประกอบที่ 3.9 การแก้ไขเงาโดยการสลับการรวมและการลบกฎ

การอัปเดตคุณสมบัติของ R_1 และ R_2 ไม่จำเป็นในกรณีการเปลี่ยนและการลบกฎ แต่ในกรณีของการรวมมีรายละเอียดดังต่อไปนี้

$$R_2 \emptyset R_1 = R_2(f_1) - R_1(f_1), R_2(f_2) - R_1(f_2) \cup \dots \cup R_2(f_5) - R_1(f_5)$$

$$R^2: f_1 \in [10,50] \wedge f_2 \in [20,60] \wedge f_3 \in [0,65535] \wedge f_4 \in [80,80] \wedge f_5 \in [6,17] \Rightarrow 0$$

$$R_{new}: f_1 \in [1,9], [51,100] \wedge f_2 \in [1,19], [61,100] \wedge f_3 \in [0,65535] \wedge f_4 \in [81,85] \wedge f_5 \in [6,17] \Rightarrow 1$$

แม้ว่า $R_2(f_3) - R_1(f_3)$ และ $R_2(f_5) - R_1(f_5)$ เท่ากับ \emptyset อย่างไรก็ตามสำหรับโมเดลนี้ทั้งคู่ไม่เท่ากับ \emptyset เนื่องจากเส้นทางการแชร์ในทรี ข้อมูลคุณสมบัติของ $R_1: e_1 = 2500, e_2 = 1, e_3 = 2, e_4 = 6$; และ R_2

คือ $e_1 = 1500, e_2 = 3, e_3 = 3, e_4 = 3$ ดังนั้น, $R_1(e_i) \emptyset R_2(e_i)$:

$$R_1(e_i) \emptyset R_2(e_i) = R_1(2500) + R_2(1500), \text{Max}(R_1(1), R_2(3)), \text{Max}(R_1(2), R_2(3)),$$

$$\text{Max}(R_1(6), R_2(3))$$

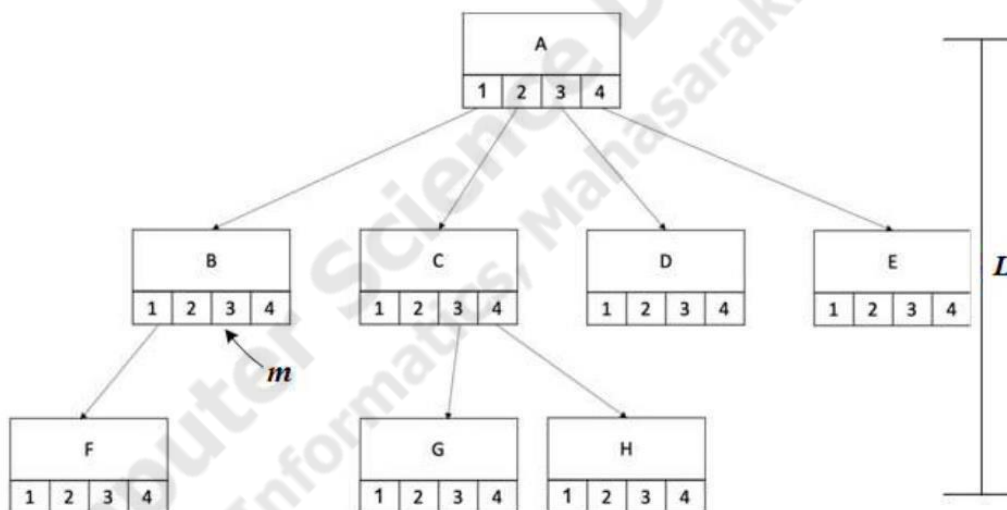
$$R_2 \rightarrow (e_1 = 4000, e_2 = 3, e_3 = 3, e_4 = 6)$$

$$R_{new} \rightarrow (e_1 = 2500, e_2 = 1, e_3 = 2, e_4 = 6)$$

โปรดทราบว่าในขณะที่อัปเดตกฎที่ขัดแย้งกันแต่ละครั้งโครงสร้างโครงสร้าง PST จะมีการเปลี่ยนแปลงซึ่งทำให้มีความเป็นไปได้ที่จะคำนวณใหม่ทุกครั้งเมื่อแก้ไขข้อขัดแย้ง

3.4 การใช้งาน PST และการประเมินผลการปฏิบัติงาน

PST ใช้โครงสร้างต้นไม้ k-ary (หรือเรียกอีกอย่างว่าต้นไม้ m-ary หรือ k-way) เพื่อพัฒนา ดังนั้นความเร็วในการประมวลผลคือ $O(n)$ โดยที่ n คือจำนวนโหนดของต้นไม้ k-ary ที่กำหนด สมมติว่าจำนวนระดับของต้นไม้ k-ary ที่มีอยู่คือ L ความลึกของ k-ary ในกรณีที่แย่มากที่สุดคือ $N - 1$ โดยที่ N คือจำนวนโหนดในต้นไม้ ต้นไม้ k-ary ยังสามารถเก็บไว้ในลำดับความกว้างก่อนเป็นโครงสร้างข้อมูลโดยง่าย ในแบบตัวชี้แต่ละโหนดจะมีอาร์เรย์ ภายในสำหรับการเก็บพอยน์เตอร์ให้แต่ละตัวของ children m ดังแสดง ในภาพประกอบที่ 3.10 ดังนั้นความซับซ้อนของพื้นที่ของโครงสร้างต้นไม้ k-ary คือ $O(m * n)$ การสำรวจเส้นทางต้นไม้ k-ary นั้นคล้ายคลึงกับการสำรวจเส้นทางผ่านต้นไม้ไบนารี นอกจากนี้ความซับซ้อนของเวลา กรณีที่เลวร้ายที่สุดโดยรวมคือ $O(\log mn)$ ในทางปฏิบัติแล้ว PST นั้นถูกใช้งานโดยภาษา Python เวอร์ชัน 3.7 (64 บิต) ทำงานบน MS-Windows และโครงสร้างของทรีเหมือนภาพประกอบที่ 3.10



ภาพประกอบที่ 3.10 การนำตัวชี้ไปยังต้นไม้ k-ary โดยที่ $m = 4$, $L = 2$

3.5 สรุป

ในทางปฏิบัติการแก้ไขความผิดพลาดของกฎไฟร์วอลล์ค่อนข้างซับซ้อน ขึ้นอยู่กับมุมมองและประสบการณ์ของผู้ดูแลระบบ การแก้ไขข้อผิดพลาดอาจนำไปสู่ความผิดพลาดอื่น ๆ ตัวอย่างเช่นเมื่อแก้ไขความผิดพลาดซ้ำซ้อนมันอาจกลายเป็นการสูญเสียความหมายของกฎ เพื่อลดผลกระทบของข้อผิดพลาดในการแก้ไขความผิดพลาดของผู้ดูแลระบบ ดังนั้นบทความนี้ได้ออกแบบและพัฒนาระบบเพื่อช่วยในการตัดสินใจของผู้ดูแลระบบโดยใช้ความน่าจะเป็นพร้อมกับคุณสมบัติเพิ่มเติม 4 ประการของกฎ คือ ความถี่ของการจับคู่ระหว่าง

แพ็กเก็ต, หลักฐานของการสร้างกฎ, ความเชี่ยวชาญของผู้สร้างกฎ แต่ละกฎคำนวณความน่าจะเป็นตามคุณลักษณะทั้ง 4 นี้ หากความน่าจะเป็นของกฎใด ๆ สูงแสดงว่ากฎมีลำดับความสำคัญสูง ในขณะที่กฎใด ๆ ในไฟร์วอลล์มีข้อขัดแย้งกฎที่มีค่าความน่าจะเป็นสูงจะถือเป็นอันดับแรกเสมอ จากการทดสอบระบบผู้ดูแลระบบสามารถตัดสินใจได้อย่างแม่นยำมากขึ้นเกี่ยวกับกฎข้อขัดแย้งในไฟร์วอลล์ สำหรับประสิทธิภาพโดยรวมของระบบความซับซ้อนของเวลาในการสร้างระบบ (PST) เท่ากับ $O(n)$ เวลาค้นหาผ่าน PST คือ $O(\log mn)$ และความซับซ้อนคือ $O(m * n)$ อย่างไรก็ตามระบบยังมีข้อจำกัด ในการสร้างโครงสร้างต้นไม้ใหม่ ในขณะที่การแก้ไขความผิดปกติใด ๆ ของกฎในแต่ละช่วงเวลานั้นต้องการโครงสร้างต้นไม้ PST ทั้งหมด

Computer Science Department
Faculty of Informatics, Maharakham University